

СПЕКТР АНТИФЕРРОМАГНИТНОГО РЕЗОНАНСА В ЗАРЯДОВО-УПОРЯДОЧЕННЫХ МАНГАНИТАХ

$R_{0.5}Ca_{0.5}MnO_3$ ($R = La, Pr, Tb$): ВЛИЯНИЕ ОРБИТАЛЬНОЙ И ЗАРЯДОВОЙ СТРУКТУР

Л. Э. Гончар^{}, А. Е. Никифоров*

*Уральский государственный университет
620083, Екатеринбург, Россия*

Поступила в редакцию 21 августа 2002 г.

Проведено теоретическое исследование влияния кристаллической, орбитальной и зарядовой структур на магнитную структуру и спектры спиновых волн и АФМР для кристаллов $R_{0.5}Ca_{0.5}MnO_3$ моноклинной структуры. Модель предполагает фиксированные кристаллическую, зарядовую и орбитальную структуры и позволяет определить орбитально-зависимые обменное взаимодействие и одноионную анизотропию для различных $R = La, Pr, Tb$. Получена шестнадцатиподрешеточная слабонеколлинеарная магнитная CE -структура, не обладающая ферромагнитной составляющей. Проведено моделирование поведения магнитной структуры во внешнем магнитном поле, получены величины полей спин-флоп-перехода для различных R . Рассчитаны закон дисперсии спиновых волн и полевая зависимость спектра антиферромагнитного резонанса.

PACS: 75.25.+z, 71.70.Ej, 75.30.Et, 76.50.+g

1. ВВЕДЕНИЕ

Внимание, уделяемое мanganитам в настоящее время, объясняется наличием у них множества необычных свойств, не только широко известного эффекта колоссального магнитосопротивления. Диэлектрические фазы мanganитов также становятся предметом подробных теоретических и экспериментальных исследований. Определенные сложности в изучении этих соединений связаны с описанием всех подсистем кристаллов, а именно, кристаллической решетки, зарядовой, орбитальной и спиновой подсистем с учетом их взаимосвязи. Данная работа посвящена магнитным свойствам диэлектрических мanganитов $R_{0.5}Ca_{0.5}MnO_3$ ($R = La, Pr, Tb$), обладающих моноклинной структурой. Цель исследования — показать влияние кристаллической, зарядовой и орбитальной структур на магнитное упорядочение и спектры магнонов.

Исследование взаимосвязи между орбитальной и магнитной структурами мanganитов началось до-

вольно давно. Начиная с работ Гуденафа [1] и Воллана с Келером [2], качественно определено наличие такой связи. Количественные характеристики взаимодействия всех четырех подсистем активно обсуждаются и в настоящее время. Существуют несколько моделей, которые применяются для описания мanganитов. Влияние решеточных искажений на магнитную структуру признано сегодня в большинстве работ [3], но учет ян-теллеровских искажений решетки, являющихся основными в формировании необычных свойств мanganитов, проведен по-разному. В зарядово-упорядоченных фазах мanganитов предполагается упорядочение локализованных носителей зарядов, образовавшихся за счет неизовалентного легирования.

Для объяснения взаимосвязи кристаллической, орбитальной и магнитной структур в мanganитах в настоящее время используются, в основном, две модели. Первая модель, называемая моделью Кугеля–Хомского [4], подразумевает формирование орбитальной структуры за счет орбитально-зависимого обменного взаимодействия, вызывающего в дальнейшем искажение кристаллической ре-

*E-mail: lyudmila.gonchar@usu.ru

шетки. Различные модификации этой модели используются во многих работах [5–9]. Достаточно часто эта модель используется для предсказания и исследования орбитальных возбуждений (орбитонов) [6, 8–10]. Однако температура разрушения орбитально-упорядоченной фазы гораздо выше температуры Нееля [11, 12], что доказывает предположение о формировании орбитальной структуры взаимодействиями более сильными, чем обмен. Вторая модель, называемая моделью Канамори [13], предполагает наличие кооперативного эффекта Яна–Теллера. Эта модель также предполагает наличие орбитально-зависимого обмена, однако основная роль в ней отводится электронно-колебательному взаимодействию. Развитие модели Канамори для мanganитов представлено в работах [14–17].

Описание сверхобменного взаимодействия в многоэлектронных системах — достаточно сложная задача. В некоторых соединениях знаки обменных параметров могут быть определены по правилам Гуденафа–Канамори [1]. Однако эти правила не определяют значения обменных интегралов. Обменные параметры рассчитывались из первых принципов [5] для чистого мanganита, однако оказались завышенными по сравнению с экспериментом [18, 19]. Общий подход к описанию чистых и легированных мanganитов — это модель Хаббарда с учетом взаимодействия Хунда, кулоновского взаимодействия (одноцентрового и межцентрового) и ян–теллеровского взаимодействия в различных моделях. Для описания дополнительных носителей заряда, появляющихся при допировании редкоземельной подрешетки щелочноземельными ионами, как правило, в гамильтониан добавляется вклад двойного обмена [6, 9, 15, 16, 20–22]. Этот подход характеризуется упрощенной моделью орбитальной структуры ($d_{3z^2-r^2}$ - или $d_{x^2-y^2}$ -орбитали, оси x , y , z подразумеваются зависящими от позиции иона марганца). В некоторых работах пренебрегается t_{2g} -оболочкой. Магнитная структура (включая чистые и зарядово-упорядоченные мanganиты) описывается в модели двойного обмена [5, 7, 16]. Некоторые модели [21, 23] не могут описать магнитную структуру зарядово-упорядоченных мanganитов *CE*-типа, наблюдаемую экспериментально [2, 24–26]. Таким образом, не всегда удается описать экспериментальные данные, и необходимо проводить более точные расчеты. Большое количество экспериментальных работ по изучению кристаллической, зарядовой, орбитальной и магнитной структур позволяет использовать полуэмпирический подход к описанию механизма сверхобменного взаимодействия в диэлектрических ман-

ганитах, который был развит в предыдущих работах [17, 27].

Магнитная структура зарядово-упорядоченных мanganитов с половинным допированием изучена достаточно подробно для различных составов редкоземельно-щелочноземельной подрешетки [2, 24–26, 28–30]. Эти соединения характеризуются наличием или отсутствием зарядового упорядочения, и эта особенность является основной для формирования той или иной магнитной структуры. В зарядово-упорядоченной фазе ионы Mn^{3+} и Mn^{4+} присутствуют в равных долях и упорядочены в пространстве, орбитальная структура характерна для подрешетки ионов Mn^{3+} , магнитная структура отвечает *CE*-типу, основное направление магнитной легкой оси — вдоль оси c (в обозначениях *Pnma*) [2, 24–26, 28, 29, 31]. Достаточно точная симметрийная классификация магнитных структур была проведена для чистых мanganитов [32], однако существует проблема проведения классификации самой *CE*-структурой зарядово-упорядоченной фазы и экспериментального определения неколлинеарных компонент [33]. Зарядовая, орбитальная и *CE*-магнитная структуры могут быть разрушены температурой или магнитным полем [3].

В данной работе использована модель [17, 27, 34] орбитальной и магнитной структур, основанная на фиксированных кристаллической и зарядовой структурах, сильном электронно-колебательном взаимодействии и орбитально-зависимом сверхобмене. Переход в зарядово-упорядоченную фазу ведет к локализации дырок на ионах марганца с образованием упорядоченной структуры. В соединениях ортомanganитов с половинным легированием ионы Mn^{3+}/Mn^{4+} чередуются в плоскости ac и не чередуются вдоль оси b (*C*-тип зарядовой структуры). При этом ионы Mn^{3+} являются ян–теллеровскими ионами, а ионы Mn^{4+} не имеют вырождения основного состояния в идеальном октаэдрическом окружении. С учетом этих особенностей в рамках нашей модели [17] можно количественно оценить параметры сверхобменного взаимодействия и температуры Нееля в диэлектрических мanganитах. В данной работе рассчитаны особенности многоподрешеточной магнитной структуры моноклинных зарядово-упорядоченных мanganитов, спектры спиновых волн и полевая зависимость антиферромагнитного резонанса при направлении внешнего магнитного поля вдоль оси легкого намагничивания. Предложенная модель является полуэмпирической, однако позволяет получить магнитную структуру и спектры магнионов исходя из кристаллической структу-

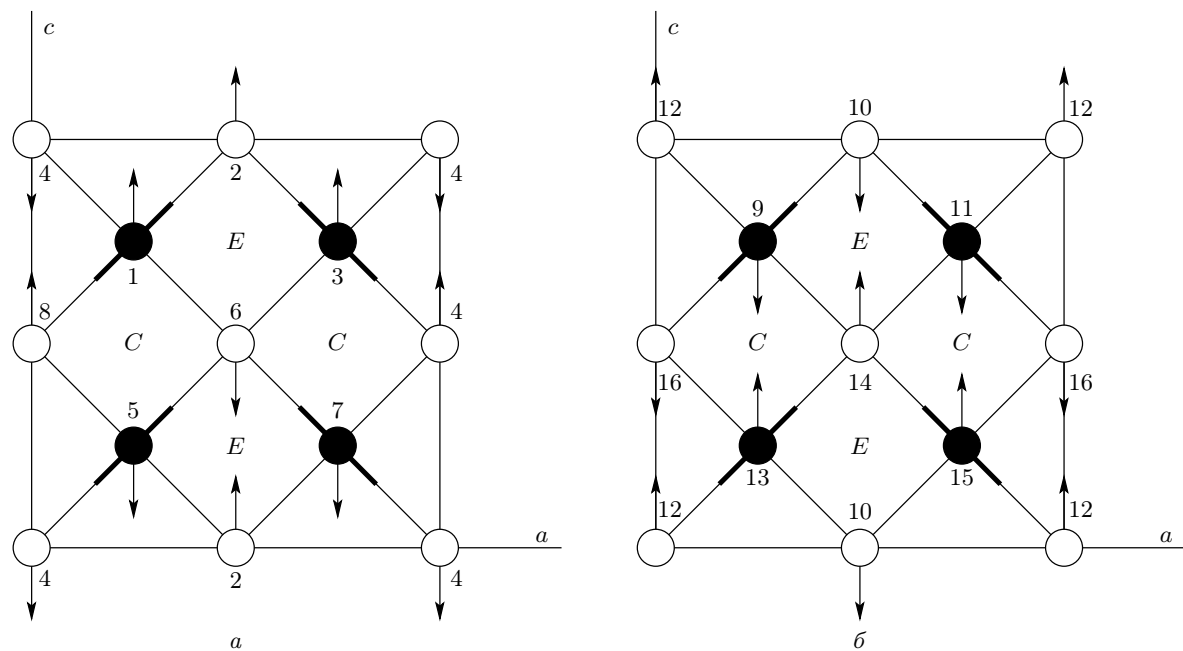


Рис. 1. Орбитальная и магнитная структуры зарядово-упорядоченной фазы мanganита с половинным легированием в двух соседних плоскостях вдоль оси Y (части a и b). Ионы кислорода и редкоземельно-щелочноземельной подрешетки опущены. Светлые символы обозначают ионы Mn^{4+} , темные символы обозначают ионы Mn^{3+} . Стрелками изображены основные направления магнитных подрешеток. Жирными линиями обозначены ориентации e_g -орбиталей. Числа нумеруют магнитные подрешетки

ры. Результаты работы могут быть использованы для интерпретации экспериментальных данных, где необходима точная магнитная структура.

2. КРИСТАЛЛИЧЕСКАЯ И ОРБИТАЛЬНАЯ СТРУКТУРЫ

Рассматриваемые кристаллы $R_{0.5}Ca_{0.5}MnO_3$ при низких температурах обладают искаженной перовскитной структурой симметрии $P2_1/m$ и зарядовым упорядочением [2, 24–26]. Эта группа является подгруппой $Pnma$, которой описывается пространственная симметрия кристалла чистого мanganита. В связи с наличием ионов марганца в различных зарядовых состояниях, которые располагаются в шахматном порядке в базисной плоскости (см. рис. 1, рис. 2), в кристалле возникают дополнительные искажения. Подрешетка ионов марганца разделяется на три позиции (см. табл. 1). Ионы в позициях a , b обладают искажениями кислородного окружения ϵ -типа, а ионы в позиции f — нет. Орторомбическое искажение идеальной перовскитной решетки [35] меняется в соответствии с низкосимметричным искажением за счет зарядовой неэквивалентности ионов.

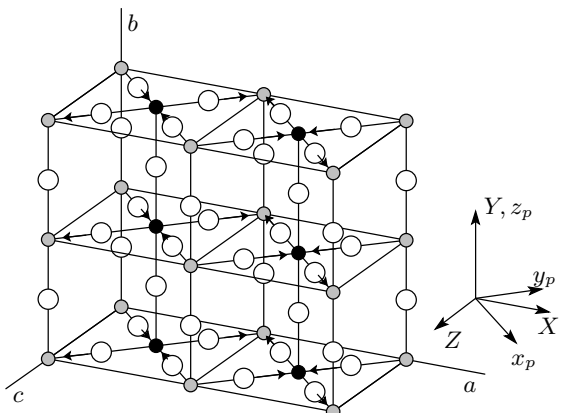


Рис. 2. Фрагмент ячейки $R_{0.5}Ca_{0.5}MnO_3$ с ϵ -типовом искажения. Ионы R^{3+} , Ca^{2+} опущены; X , Y , Z — система координат групп $Pnma$ и $P2_1/m$; x_p , y_p , z_p — квазикубическая система координат

1. Искажение R -типа представляет собой поворот кислородных октаэдров вокруг псевдокубической оси $[110]_p$ с удвоением ячейки по всем трем осям ($\{k_{13}\}_{\tau_9}(C_1C_10)$ в обозначениях Ковалева [36] или $(\varphi\varphi0)$ в обозначениях [37]). В моноклинной

Таблица 1. Координаты атомов в примитивной ячейке кристалла в зарядово-упорядоченной фазе (группа симметрии $P2_1/m$, по сравнению со справочником [36] оси повернуты для сравнения с обозначениями осей $Pnma$: xyz [36] = ZXY)

Ион (позиция)	$X (a)$	$Y (b)$	$Z (c)$
R, A (1)-2e	$1/4 + V_{X\text{R}1}$	0	$V_{Z\text{R}1}$
R, A (2)-2e	$3/4 + V_{X\text{R}1}$	0	$V_{Z\text{R}2}$
R, A (3)-2e	$V_{X\text{R}3}$	0	$V_{Z\text{R}3}$
R, A (3)-2e	$1/2 + V_{X\text{R}3}$	0	$V_{Z\text{R}3}$
Mn ³⁺ (1)-2a	0	$1/4$	0
Mn ³⁺ (2)-2b	$1/2$	$-1/4$	0
Mn ⁴⁺ (3)-4f	$1/4$	$1/4$	$1/2 - V_{Z\text{Mn}}$
O(1)-2e	u_{X1}	0	u_{Z1}
O(2)-2e	$1/2 + u_{X1}$	0	u_{Z1}
O(3)-2e	$1/4 + u_{X1}$	0	$1/2 + u_{Z2}$
O(4)-2e	$3/4 + u_{X1}$	0	$1/2 + u_{Z3}$
O(5)-4f	$+v_{X1}$	$-1/4 + v_Y$	$1/4 + v_{Z1}$
O(6)-4f	$5/8 + v_{X1}$	$-1/4 + v_Y$	$1/4 + v_{Z2}$
O(7)-4f	$1/8 + v_{X3}$	$-1/4 - v_Y$	$3/4 + v_{Z3}$
O(8)-4f	$5/8 + v_{X3}$	$-1/4 - v_Y$	$3/4 + v_{Z4}$

структуре различают три значения угла $\varphi - \varphi_1$ (*a*), φ_2 (*b*), φ_3 (*f*), которые по знаку соответствуют этому искажению, а по величине различаются.

2. Искажение *M*-типа представляет собой поворот кислородных октаэдров вокруг оси $[001]_p$ с удвоением ячейки по двум осям ($\{k_{11}\}_{\tau_3}(00C_2)$ в обозначениях [36] или (00ψ) в обозначениях [37]). В моноклинной структуре различают три значения угла $\psi - \psi_1$ (*a*), ψ_2 (*b*), ψ_3 (*f*), которые по знаку соответствуют этому искажению, а по величине различаются.

3. Искажение Q_ε описывает деформацию кислородного октаэдра *e*-типа (см. рис. 2) с удвоением по двум осям ($\{k_{11}\}_{\tau_5}$ в обозначениях [36] и с выбором луча $[1/2\ 1/2\ 0]_p$). В моноклинной структуре это искажение является характерным только для окружения трехвалентных ионов марганца. Удвоение происходит по одной оси $[110]_p$.

4. Для окружения четырехвалентного марганца характерно искажение *a*-типа (всестороннее сжатие) в связи с меньшим радиусом иона Mn⁴⁺ по сравнению с Mn³⁺.

Соответствующие базовые искажения сопровождаются подстройкой решетки, в результате чего появляется Q_θ -искажение, *e*-искажение двух позиций иона Mn³⁺ становится различным по величине.

Вследствие взаимодействия *e*-искажений вокруг ионов Mn³⁺ и *a*-искажений вокруг ионов Mn⁴⁺ происходит сдвиг ионов Mn⁴⁺ вдоль оси $[\bar{1}10]_p$. Этот сдвиг определяет волновой вектор орбитальной структуры [17].

Благодаря кооперативному эффекту Яна–Теллера орбитально-вырожденное основное состояние ионов трехвалентного марганца 5E расщепляется. На каждом марганце устанавливается орбитальное состояние с волновой функцией

$$\psi_n = \varphi_{n\theta} \sin \frac{\phi_n}{2} + \varphi_{n\varepsilon} \cos \frac{\phi_n}{2}, \quad (1)$$

где $(\varphi_{n\theta}, \varphi_{n\varepsilon})$ — базисные функции *E*-уровня, а углы ϕ_n подчиняются соотношению (см. рис. 1) [27]

$$\begin{aligned} \phi_a &\approx -\phi_b, & \phi_1 &= \phi_5 = \phi_9 = \phi_{13} = \phi_a, \\ \phi_3 &= \phi_7 = \phi_{11} = \phi_{15} = \phi_b. \end{aligned} \quad (2)$$

Величины этих углов выражаются через искажения в кристалле:

$$\sin \phi_n = \frac{Q_{\varepsilon n}}{\sqrt{Q_{\theta n}^2 + Q_{\varepsilon n}^2}}, \quad \cos \phi_n = \frac{Q_{\theta n}}{\sqrt{Q_{\theta n}^2 + Q_{\varepsilon n}^2}}. \quad (3)$$

Для рассматриваемых соединений величины углов орбитальной структуры приведены в табл. 2. В групп-

Таблица 2. Характерные параметры искажений кристаллической структуры в зарядово-упорядоченных фазах кристаллов мanganитов $R_{0.5}Ca_{0.5}MnO_3$ (рядом с названием соединения указана ссылка на экспериментальные данные, исходя из которых проводился расчет)

	La [24]	Pr [25]	Tb [26]
ϕ_a , град	-126.0°	-123.6°	-111.1°
ϕ_b , град	126.3°	120.6°	112.5°
φ_1 , град	-9.1°	-9.9°	11.6°
φ_2 , град	-9.1°	-9.9°	11.6°
φ_3 , град	-9.3°	-10.1°	11.7°
ψ_1 , град	5.4°	8.0°	-8.8°
ψ_2 , град	3.5°	4.6°	-11.6°
ψ_3 , град	4.7°	6.5°	10.2°
Θ_b , град	158.3°	156.3°	152.5°
Θ'_b , град	158.3°	156.3°	152.9°
Θ_{ac} , град	162.3°	157.9°	152.2°
r_b , Å	1.92	1.91	1.90
r'_b , Å	1.92	1.91	1.90
r_{ac} , Å	1.96	1.94	1.97

пе $P2_1/m$ e -искажения зависят от сдвигов ионов (см. табл. 1) как

$$\begin{aligned} Q_{\theta a} &= \frac{1}{\sqrt{12}} \left[b - \frac{1}{\sqrt{2}} \left(\frac{a}{2} + c \right) \right] + \\ &+ \frac{1}{\sqrt{6}} [-(\nu_{X1} + \nu_{X3})a + (\nu_{Z1} - \nu_{Z3})b], \\ Q_{\varepsilon a} &= \frac{1}{\sqrt{2}} [(\nu_{X1} - \nu_{X3})a - (\nu_{Z1} + \nu_{Z3})b], \\ Q_{\theta b} &= \frac{1}{\sqrt{12}} \left[b - \frac{1}{\sqrt{2}} \left(\frac{a}{2} + c \right) \right] + \\ &+ \frac{1}{\sqrt{6}} [-(\nu_{X1} + \nu_{X3})a + (\nu_{Z2} - \nu_{Z4})b], \\ Q_{\varepsilon b} &= \frac{1}{\sqrt{2}} [(\nu_{X1} - \nu_{X3})a - (\nu_{Z2} + \nu_{Z4})b]. \end{aligned} \quad (4)$$

Орбитальная структура зарядово-упорядоченного мanganита изображена на рис. 1.

Качественно пояснить «зигзагообразное» пространственное распределение ян-теллеровских искажений в кристалле можно, принимая во внимание сдвиг иона Mn^{4+} вдоль оси Z , вызванный подстройкой решетки под полносимметричное искажение окружения ионов Mn^{4+} и ян-теллеровское искажение окружения ионов Mn^{3+} . Этот ион «тянет за

собой» соседние связи, в результате чего две взаимно перпендикулярные связи с кислородом удлиняются, а две — укорачиваются. Таким образом, линия сдвига четырехвалентного марганца является разделяющей линией трехвалентных марганцев с положительными и отрицательными Q_ε -искажениями, а знак этих искажений вдоль направления сдвига не меняется. Поскольку знак сдвига Mn^{4+} меняется вдоль оси X , очевидно, что в этом направлении примитивная ячейка удваивается. Роль сдвига четырехвалентного марганца в формировании орбитальной структуры $La_{0.5}Ca_{0.5}MnO_3$ обсуждается еще в работе Гуденафа [1], однако в этой работе предлагаются сдвиги по двум взаимно перпендикулярным псевдокубическим направлениям. В работах [24–26] предполагается смещение этого иона именно вдоль оси Z .

3. ОРБИТАЛЬНАЯ ЗАВИСИМОСТЬ МАГНИТНЫХ ВЗАИМОДЕЙСТВИЙ

Изотропный обмен

Учитывая различие расстояний металл–лиганд r_b (Mn^{3+} –O), r'_b (Mn^{4+} –O), r_{ac} и углов сверхобменной связи Θ_b , Θ'_b , Θ_{ac} для пар взаимодействующих ионов вдоль оси z_p и в базисной плоскости, авторы работы [17] получили зависимости для параметров изотропного обмена ионов марганца в кристалле зарядово-упорядоченного мanganита от орбитального состояния взаимодействующих ионов марганца в кристалле:

$$J^i = \frac{J_0^i \cos^2 \Theta_i}{r_i^{10}} F_i(\phi), \quad (5)$$

где

$$\begin{aligned} F_1(\phi) &= 1 + 2\alpha \cos \phi + \beta \cos^2 \phi, \\ \Theta_1 &= \Theta_b, \quad r_1 = r_b, \\ F_2(\phi) &= 1 - \frac{\alpha'}{2} (\cos \phi - \sqrt{3} \sin \phi), \\ \Theta_2 &= \Theta_{ac}, \quad r_2 = r_{ac}, \\ F_3(\phi) &= 1 - \frac{\alpha'}{2} (\cos \phi + \sqrt{3} \sin \phi), \\ \Theta_3 &= \Theta_{ac}, \quad r_3 = r_{ac}, \end{aligned} \quad (6)$$

$$F_4(\phi) = 1, \quad \Theta_4 = \Theta'_b, \quad r_4 = r'_b,$$

а J_0^i , α , α' , β — параметры, которые зависят от сорта магнитных ионов в паре и от сорта промежуточного иона (их можно определить из экспериментальных данных), ϕ — угол ян-теллеровского искажения в паре ионов (для пары Mn^{3+} – Mn^{3+}) или на

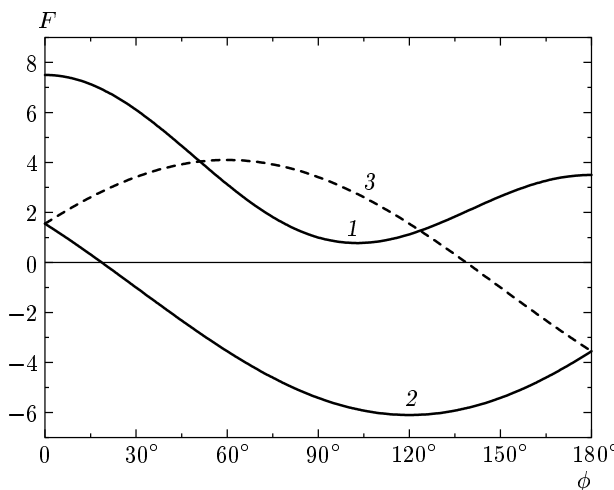


Рис. 3. Зависимость угловой части обменных интегралов (6) вдоль оси b (1 — F_1) и в базисной плоскости (2 — $F_{2,3}$) от угла ян-теллеровского искажения (угла орбитальной структуры) ϕ

одном ионе в паре (Mn^{3+} для пары Mn^{3+} — Mn^{4+}). В работе [17] определены параметры зависимости (6): $J_0^1 = 1.24 \cdot 10^3$ мэВ · Å¹⁰, $\alpha = 1.0$, $\beta = 4.5$; $J_0^{2,3} = -4.22 \cdot 10^2$ мэВ · Å¹⁰, $\alpha' = 5.1$, $J_0^4 = 0.97 \cdot 10^3$ мэВ · Å¹⁰. Зависимость обмена от ян-теллеровского угла представлена на рис. 3. Структурные параметры для $R_{0.5}Ca_{0.5}MnO_3$ взяты из работ [24–26] и приводятся в табл. 2, где r_b — расстояние между Mn^{3+} и кислородом вдоль оси b ; r'_b — расстояние между Mn^{4+} и кислородом вдоль оси b ; r_{ac} — среднее расстояние от Mn^{3+} и Mn^{4+} до кислорода в плоскости ac ; Θ_b — угол сверхобменной связи Mn^{3+} — O — Mn^{3+} вдоль оси b ; Θ'_b — угол сверхобменной связи Mn^{4+} — O — Mn^{4+} вдоль оси b ; Θ_{ac} — средний угол сверхобменной связи в плоскости ac .

Обменное взаимодействие внутри базисной плоскости является следствием наличия орбитальной и зарядовой структур. Зарядовая структура определяет ферромагнитный характер взаимодействия ионов Mn^{3+} — Mn^{4+} , поскольку орбитально-независимая часть этого взаимодействия отрицательна, а наличие орбитально-зависимой части взаимодействия позволяет менять знак взаимодействия, так что появляется слабый антиферромагнитный обмен. Особенности кристаллической и зарядовой структур (такие как шахматное упорядочение ионов марганца различной валентности и сдвиг Mn^{4+} вдоль оси c) формируют орбитальную структуру подрешетки Mn^{3+} [17]. Наличие этого комплекса факторов является причиной ферромагнитных

«зигзагов», связанных антиферромагнитным обменом — слабым внутри плоскости и сильным между плоскостями.

Характерной особенностью зависимости (6), так же как в чистом манганите [17, 34], является возможная смена величины и знака обменного параметра в ac -плоскости (знак «—» обозначает ферромагнитное взаимодействие), что обусловит смену магнитной структуры при неизменной кристаллической структуре ($P2_1/m$). Это отличает ян-теллеровские соединения от прочих магнитных диэлектриков. Возможным проявлением этой особенности может быть наличие магнитного упорядочения A -типа в двухслойном манганите [20, 27].

Одноионная анизотропия и зеемановское взаимодействие

Одноионная анизотропия появляется во втором порядке теории возмущений по спин-орбитальному взаимодействию. В работах [17, 34] получено выражение для одноионной анизотропии подрешетки трехвалентного марганца в локальных осях кислородных октаэдров, зависящее от угла орбитального упорядочения:

$$H_{an}^{(n)} = D_n S_{nz_l}^2 + E_n (S_{nx_l}^2 - S_{ny_l}^2), \quad (7)$$

$$D_n = 3P \cos \phi_n, \quad E_n = \sqrt{3} P \sin \phi_n. \quad (8)$$

Значения D_n оказываются положительными ($\cos \phi_n < 0, P < 0$) и одинаковыми для всех магнитных ионов в ячейке, а E_n обладает разным знаком и величиной для различных позиций (a и b) ионов Mn^{3+} .

Величина P определена в работе [34] и равна $P \approx -0.1$ мэВ. Там же определена и орбитальная зависимость g -тензоров зеемановского взаимодействия ионов Mn^{3+} в локальных осях кислородного окружения. Поскольку для полевых зависимостей спектра влияние неэквивалентности и анизотропии g -тензоров незначительно, в данной работе g -тензоры ионов марганца считаются изотропными и равными 2. В этом случае зеемановское взаимодействие описывается гамильтонианом

$$\hat{H}_{Zeeem} = 2\mu_B \sum_n (\mathbf{H} \cdot \mathbf{S}_n). \quad (9)$$

4. РЕЗУЛЬТАТЫ И ОБСУЖДЕНИЕ

Для расчета магнитных свойств зарядово-упорядоченной фазы мanganитов был использован гамильтониан

$$\hat{H} = \sum_{m>n} J_{mn} (\mathbf{S}_m \cdot \mathbf{S}_n) + \sum_{n=2k-1} \hat{H}_{an}^{(n)} + \hat{H}_{Zeem}. \quad (10)$$

Существование поворотов кислородных октаэдров мы учитываем не только зависимостью от угла сверхобменной связи в обменном параметре (6), но и в остальных слагаемых. Для спиновых переменных в слагаемых одноионной анизотропии осуществляется переход из локальной системы координат, связанной с осями октаэдра, в общую систему с помощью матриц

$$M(\varphi, \psi) = \begin{pmatrix} \frac{1}{\sqrt{2}} & 0 & \frac{1}{\sqrt{2}} \\ \frac{1}{\sqrt{2}} & 0 & -\frac{1}{\sqrt{2}} \\ 0 & 1 & 0 \end{pmatrix} \times \\ \times \begin{pmatrix} \cos \psi & 0 & -\sin \psi \\ 0 & 1 & 0 \\ \sin \psi & 0 & \cos \psi \end{pmatrix} \times \\ \times \begin{pmatrix} 1 & 0 & 0 \\ 0 & \cos \varphi & -\sin \varphi \\ 0 & \sin \varphi & \cos \varphi \end{pmatrix}. \quad (11)$$

Соответствие углов поворота и орбитальной структуры в примитивной магнитной ячейке задается следующим образом:

$$\begin{aligned} & Mn_1(\varphi_1, \psi_1, \phi_a), Mn_5(\varphi_1, \psi_1, \phi_a), \\ & Mn_9(-\varphi_1, \psi_1, \phi_a), Mn_{11}(-\varphi_1, \psi_1, \phi_a), \\ & Mn_3(\varphi_2, \psi_2, \phi_b), Mn_7(\varphi_2, \psi_2, \phi_b), \\ & Mn_{13}(-\varphi_2, \psi_2, \phi_b), Mn_{15}(-\varphi_2, \psi_2, \phi_b), \\ & Mn_2(\varphi_3, \psi_3), Mn_4(\varphi_3, \psi_3), \\ & Mn_6(\varphi_3, \psi_3), Mn_8(\varphi_3, \psi_3), \\ & Mn_{10}(-\varphi_3, \psi_3), Mn_{12}(-\varphi_3, \psi_3), \\ & Mn_{14}(-\varphi_3, \psi_3), Mn_{16}(-\varphi_3, \psi_3). \end{aligned} \quad (12)$$

Значения углов поворота октаэдров приведены в табл. 2. В соответствии с экспериментально наблюдаемой магнитной структурой *CE*-типа, обусловленной знаками обменных параметров (см. табл. 3) в этих соединениях, магнитная ячейка должна быть удвоена по сравнению с кристаллической вдоль оси

с. Таким образом, магнитная ячейка содержит 16 ионов марганца: 4 — в позиции *a*, 4 — в позиции *b* и 8 — в позиции *f*. После соответствующих преобразований гамильтониан (10) можно переписать как энергию магнитной ячейки в терминах базисных векторов магнитной структуры для шестнадцати подрешеток (в приближении ближайших соседей):

$$\begin{aligned} E = \frac{1}{16} \{ & 4J_1 [(\mathbf{a}_1 \cdot \mathbf{A}_1) + (\mathbf{c}_1 \cdot \mathbf{C}_1) + \\ & + (\mathbf{f}_1 \cdot \mathbf{F}) + (\mathbf{g}_1 \cdot \mathbf{G})] + \\ & + 4J_{II} [(\mathbf{a}_2 \cdot \mathbf{A}_1) + (\mathbf{c}_2 \cdot \mathbf{C}_1) + \\ & + (\mathbf{f}_2 \cdot \mathbf{F}) + (\mathbf{g}_2 \cdot \mathbf{G})] + \\ & + 4J_{III} [(\mathbf{a}_1 \cdot \mathbf{A}_1) - (\mathbf{c}_1 \cdot \mathbf{C}_1) + \\ & + (\mathbf{f}_1 \cdot \mathbf{F}) - (\mathbf{g}_1 \cdot \mathbf{G})] + \\ & + 4J_{IV} [(\mathbf{a}_2 \cdot \mathbf{A}_1) - (\mathbf{c}_2 \cdot \mathbf{C}_1) + \\ & + (\mathbf{f}_2 \cdot \mathbf{F}) - (\mathbf{g}_2 \cdot \mathbf{G})] + \\ & + 2J_V [-\mathbf{a}_1^2 + \mathbf{c}_1^2 + \mathbf{f}_1^2 - \mathbf{g}_1^2] + \\ & + 2J_{VI} [-\mathbf{a}_2^2 + \mathbf{c}_2^2 + \mathbf{f}_2^2 - \mathbf{g}_2^2] + \\ & + J_{VII} [-\mathbf{A}_1^2 + \mathbf{A}_2^2 + \mathbf{A}_3^2 + \mathbf{C}_1^2 - \mathbf{C}_2^2 - \mathbf{C}_3^2 + \mathbf{F}^2 - \mathbf{G}^2] \} + \\ & + \sum_{i=1,2} \{ \lambda_i^1 (a_{iX}^2 + c_{iX}^2 + f_{iX}^2 + g_{iX}^2) + \\ & + \lambda_i^2 (a_{iY}^2 + c_{iY}^2 + f_{iY}^2 + g_{iY}^2) + \\ & + \lambda_i^3 (a_{iZ}^2 + c_{iZ}^2 + f_{iZ}^2 + g_{iZ}^2) + \\ & + \lambda_i^4 (a_{iX}a_{iZ} + c_{iX}c_{iZ} + f_{iX}f_{iZ} + g_{iX}g_{iZ}) + \\ & + \lambda_i^5 (a_{iX}f_{iY} + a_{iY}f_{iX} + c_{iX}g_{iY} + c_{iY}g_{iX}) + \\ & + \lambda_i^6 (a_{iY}f_{iZ} + a_{iZ}f_{iY} + c_{iY}g_{iZ} + c_{iZ}g_{iY}) \} + \\ & + 2\mu_B (\mathbf{H} \cdot \{\mathbf{f}_1 + \mathbf{f}_2 + \mathbf{F}\}), \quad (13) \end{aligned}$$

где $\mathbf{f}_1 = \mathbf{S}_1 + \mathbf{S}_5 + \mathbf{S}_9 + \mathbf{S}_{11}$, $\mathbf{g}_1 = \mathbf{S}_1 - \mathbf{S}_5 - \mathbf{S}_9 + \mathbf{S}_{11}$, $\mathbf{a}_1 = \mathbf{S}_1 + \mathbf{S}_5 - \mathbf{S}_9 - \mathbf{S}_{11}$, $\mathbf{c}_1 = \mathbf{S}_1 - \mathbf{S}_5 + \mathbf{S}_9 - \mathbf{S}_{11}$ — базисные векторы магнитной структуры для позиции *a*; $\mathbf{f}_2 = \mathbf{S}_3 + \mathbf{S}_7 + \mathbf{S}_{13} + \mathbf{S}_{15}$, $\mathbf{g}_2 = \mathbf{S}_3 - \mathbf{S}_7 - \mathbf{S}_{13} + \mathbf{S}_{15}$, $\mathbf{a}_2 = \mathbf{S}_3 + \mathbf{S}_7 - \mathbf{S}_{13} - \mathbf{S}_{15}$, $\mathbf{c}_2 = \mathbf{S}_3 - \mathbf{S}_7 + \mathbf{S}_{13} - \mathbf{S}_{15}$ — базисные векторы магнитной структуры для позиции *b*; $\mathbf{F} = \mathbf{S}_2 + \mathbf{S}_4 + \mathbf{S}_6 + \mathbf{S}_8 + \mathbf{S}_{10} + \mathbf{S}_{12} + \mathbf{S}_{14} + \mathbf{S}_{16}$, $\mathbf{G} = \mathbf{S}_2 - \mathbf{S}_4 - \mathbf{S}_6 + \mathbf{S}_8 - \mathbf{S}_{10} + \mathbf{S}_{12} + \mathbf{S}_{14} - \mathbf{S}_{16}$, $\mathbf{A}_1 = \mathbf{S}_2 + \mathbf{S}_4 + \mathbf{S}_6 + \mathbf{S}_8 - \mathbf{S}_{10} - \mathbf{S}_{12} - \mathbf{S}_{14} - \mathbf{S}_{16}$, $\mathbf{A}_2 = \mathbf{S}_2 + \mathbf{S}_4 - \mathbf{S}_6 - \mathbf{S}_8 + \mathbf{S}_{10} + \mathbf{S}_{12} - \mathbf{S}_{14} - \mathbf{S}_{16}$, $\mathbf{A}_3 = \mathbf{S}_2 - \mathbf{S}_4 + \mathbf{S}_6 - \mathbf{S}_8 + \mathbf{S}_{10} - \mathbf{S}_{12} + \mathbf{S}_{14} - \mathbf{S}_{16}$,

Таблица 3. Параметры сверхобменного взаимодействия для зарядово-упорядоченных фаз мanganитов $R_{0.5}Ca_{0.5}MnO_3$ (рядом с названием соединения указано значение ссылка на экспериментальные данные, исходя из которых проводился расчет). Обозначения соответствуют формуле (14)

R	J_I , мэВ	J_{II} , мэВ	J_{III} , мэВ	J_{IV} , мэВ	J_V , мэВ	J_{VI} , мэВ	J_{VII} , мэВ
La [24]	-2.33	-2.41	0.58	0.59	2.67	2.59	1.29
Pr [25]	-2.16	-2.50	0.61	0.85	2.16	2.16	1.21
Tb [26]	-2.07	-1.81	1.03	0.86	1.55	1.64	1.21

$C_1 = S_2 - S_4 - S_6 + S_8 + S_{10} - S_{12} - S_{14} + S_{16}$,
 $C_2 = S_2 + S_4 - S_6 - S_8 - S_{10} - S_{12} + S_{14} + S_{16}$,
 $C_3 = S_2 - S_4 + S_6 - S_8 - S_{10} + S_{12} - S_{14} + S_{16}$ –
базисные векторы магнитной структуры для позиции f ; обменное взаимодействие между магнитными подрешетками

$$\begin{aligned}
J_I &= J_{1-2} = J_{1-8} = J_{4-5} = J_{5-6} = J_{9-10} = \\
&= J_{9-16} = J_{12-13} = J_{13-14}, \\
J_{II} &= J_{2-3} = J_{3-8} = J_{4-7} = J_{6-7} = J_{10-11} = \\
&= J_{11-16} = J_{12-15} = J_{14-15}, \\
J_{III} &= J_{1-4} = J_{1-6} = J_{2-5} = J_{5-8} = J_{9-12} = \quad (14) \\
&= J_{9-14} = J_{10-13} = J_{13-16}, \\
J_{IV} &= J_{3-4} = J_{3-6} = J_{2-7} = J_{7-8} = J_{11-12} = \\
&= J_{11-14} = J_{10-15} = J_{15-16}, \\
J_V &= J_{1-9} = J_{5-13}, \quad J_{VI} = J_{3-11} = J_{7-15}, \\
J_{VII} &= J_{2-10} = J_{4-12} = J_{6-14} = J_{8-16},
\end{aligned}$$

$$\begin{aligned}
\lambda_i^1 &= \frac{\sqrt{3}}{4} P \sin \phi_i \sin 2\psi_i, \\
\lambda_i^2 &= \frac{1}{4} P \times \\
&\times \left(3 \cos \phi_i \cos^2 \varphi_i - \sqrt{3} \sin \phi_i \sin^2 \varphi_i \sin 2\psi_i \right), \\
\lambda_i^3 &= \frac{1}{4} P \times \\
&\times \left(3 \cos \phi_i \cos^2 \varphi_i - \sqrt{3} \sin \phi_i \cos^2 \varphi_i \sin 2\psi_i \right), \quad (15) \\
\lambda_i^4 &= \frac{\sqrt{3}}{2} P \sin \phi_i \cos \varphi_i \cos 2\psi_i, \\
\lambda_i^5 &= \frac{\sqrt{3}}{2} P \sin \phi_i \sin \varphi_i \cos 2\psi_i, \\
\lambda_i^6 &= -\frac{1}{4} P \sin 2\varphi_i \left(3 \cos \phi_i + \sqrt{3} \sin \phi_i \sin 2\psi_i \right), \\
i &= 1, 2.
\end{aligned}$$

Для количественного описания свойств $R_{0.5}Ca_{0.5}MnO_3$ мы использовали значения перечисленных выше параметров, собранные в табл. 3 и табл. 4.

Магнитная структура во внешнем магнитном поле

Минимизация магнитной энергии в модели (13) приводит к многоподрешеточной магнитной структуре, которая имеет неколлинеарный вид и классифицируется для всех трех позиций иона марганца как $(g_{1X}, 0, g_{1Z})$, $(g_{2X}, 0, g_{2Z})$, $(G_X, 0, G_Z)$ (см. рис. 4a, e) без учета поворотных искажений и как (g_{1X}, c_{1Y}, g_{1Z}) , (g_{2X}, c_{2Y}, g_{2Z}) , (G_X, C_{1Y}, G_Z) (см. рис. 4a, e) при учете поворотов, что соответствует представлению Γ_1 k_{12} (a, b) и Γ_2 k_{12} (f) группы $P2_1/m$. Примерное направление оси легкого намагничивания антиферромагнитной структуры слегка отклонено от оси c кристалла. В отличие от чистого манганина, данная структура не обладает слабым ферромагнетизмом, что затрудняет экспериментальное определение ее деталей. Структура всей магнитной ячейки примерно соответствует CE_Z -типу, что подтверждается экспериментом [24, 25, 31].

Выражение (13) позволяет предположить основные составляющие магнитной структуры. Сравнивая коэффициенты при квадратах компонент базисных векторов магнитной структуры, можно видеть, что наибольшие отрицательные коэффициенты имеются при квадратах компонент a_{1X}^2 , g_{1X}^2 ($-J_V/8 + \lambda_1^1$) и a_{1Z}^2 , g_{1Z}^2 ($-J_V/8 + \lambda_1^3$), a_{2X}^2 , g_{2X}^2 ($-J_{VI}/8 + \lambda_2^1$) и a_{2Z}^2 , g_{2Z}^2 ($-J_{VI}/8 + \lambda_2^3$) подрешеток трехвалентного марганца. Кроме того, a_{1X} и a_{2X} , g_{1X} и g_{2X} , a_{1Z} и a_{2Z} , g_{1Z} и g_{2Z} связаны между собой через обменное взаимодействие с ионами Mn^{4+} , а a_{1X} и a_{1Z} , g_{1X} и g_{1Z} , a_{2X} и a_{2Z} , g_{2X} и g_{2Z} связаны в слагаемых анизотропии с коэффициентами $\lambda_{1,2}^1$. Из табл. 4 и формулы (13) следует, что преобладание какой-либо из этих структур определяется обменными

Таблица 4. Параметры одноионной анизотропии для зарядово-упорядоченных фаз манганитов $R_{0.5}Ca_{0.5}MnO_3$ (рядом с названием соединения указана ссылка на экспериментальные данные, исходя из которых проводился расчет). Обозначения соответствуют формуле (15)

R	La [24]		Pr [25]		Tb [26]	
	i	1	2	1	2	1
λ_i^1 , мэВ	0.006	-0.004	0.009	-0.006	-0.012	0.016
λ_i^2 , мэВ	0.042	0.043	0.040	0.037	0.026	0.027
λ_i^3 , мэВ	-0.005	0.005	-0.009	0.007	0.013	-0.014
λ_i^4 , мэВ	0.067	-0.068	0.085	-0.072	0.075	-0.071
λ_i^5 , мэВ	-0.011	0.011	-0.012	0.013	0.016	-0.015
λ_i^6 , мэВ	0.015	0.012	0.017	0.011	-0.006	-0.017

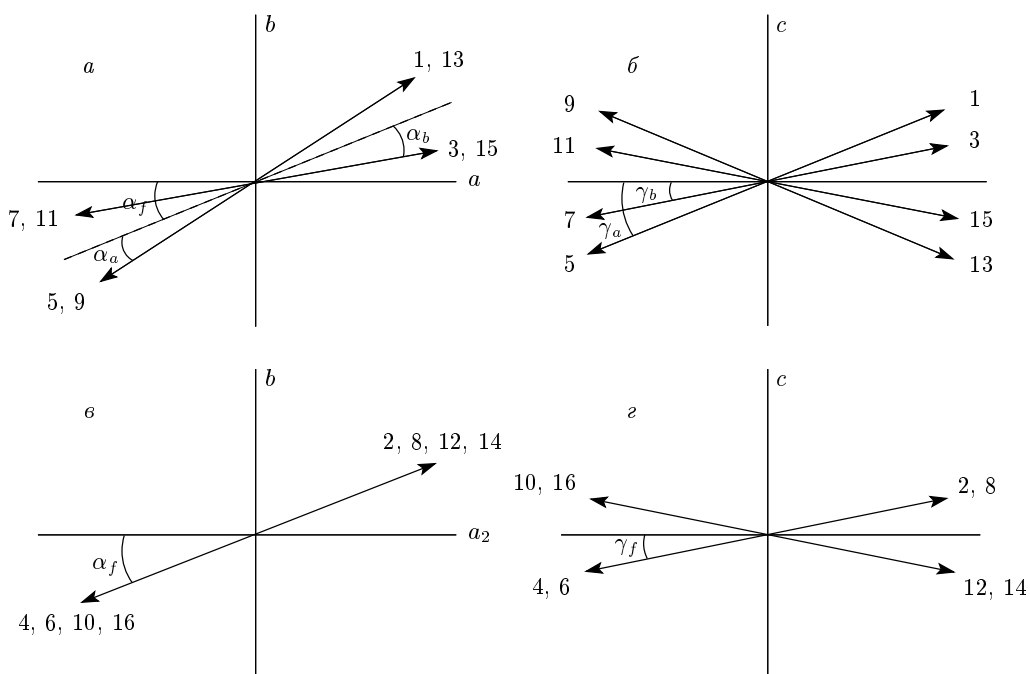


Рис. 4. Магнитная структура моноклинного кристалла $R_{0.5}Ca_{0.5}MnO_3$: *a* — подрешетки Mn_a^{3+} , Mn_b^{3+} , составляющие g_{1X} , g_{1Z} , g_{2X} , g_{2Z} ; *б* — подрешетки Mn_a^{3+} , Mn_b^{3+} , составляющие c_{1Y} , c_{2Y} ; *в* — подрешетка Mn_f^{4+} , составляющая G_Z ; *г* — подрешетка Mn_f^{4+} , составляющая C_{1Y}

взаимодействиями с подрешеткой Mn^{4+} . Поскольку наибольшие по величине отрицательные коэффициенты позиций a , b выделяют разные проекции базисных векторов (X , Z соответственно) и $|\lambda_1^1| < |\lambda_2^3|$, можно заключить, что ось Z будет примерно совпадать с осью легкого намагничивания магнитной структуры в целом за счет обменного взаимодействия. Тот же обмен (вклады в (13) с коэффициентами J_I , $J_{II} < 0$ и J_{III} , $J_{IV} > 0$) определяет основные

компоненты магнитной структуры g_{1Z} , g_{2Z} , G_Z .

Легко видеть, что при отсутствии поворотных искаложений в кристалле коэффициенты в выражении (13) $\lambda_{1,2}^1 = \lambda_{1,2}^3 = \lambda_{1,2}^5 = \lambda_{1,2}^6 = 0$, из чего следует, что в этом случае структуры с компонентами g_{1X} , g_{2X} , G_X и g_{1Z} , g_{2Z} , G_Z становятся эквивалентны.

Благодаря наличию орбитальной структуры, выделяется ось легкого намагничивания кристалла и появляются неколлинеарные компоненты магнит-

ной структуры. Наличие $c_{1,2Y}$ - и C_{1Y} -составляющих обусловлено также учетом поворотных искажений кристалла. Без учета поворотов для соответствующих компонент магнитной структуры можно записать

$$\begin{aligned}\alpha_a &= \frac{S_1 \lambda_1^4 \sin(2\alpha_f)}{S_2(J_I - J_{III}) + S_1 \lambda_1^4 \cos(2\alpha_f)}, \\ \alpha_b &= \frac{S_1 \lambda_2^4 \sin(2\alpha_f)}{S_2(J_{II} - J_{IV}) + S_1 \lambda_2^4 \cos(2\alpha_f)}, \\ \cos(2\alpha_f) &= \frac{S_1(\lambda_1^4 + \lambda_2^4)(J_I - J_{III})(J_{II} - J_{IV})}{S_2 \lambda_1^4 \lambda_2^4 (J_I - J_{III} + J_{II} - J_{IV})},\end{aligned}\quad (16)$$

где $S_1 = 2$ — спин Mn^{3+} , $S_2 = 3/2$ — спин Mn^{4+} .

При учете поворотов расчет заметно усложняется, поэтому проведен в численной форме. Величины соответствующих углов неколлинеарности магнитных моментов ионов марганца приведены в табл. 5. Согласно экспериментальным данным [24, 25], в зарядово-упорядоченных манганитах моноклинной структуры магнитная структура имеет ось легкого намагничивания, отклоненную от оси c , направление последней объясняется наличием небольшой несоразмерности кристаллической структуры, которая в нашей модели не учтена. В нашей модели такое отклонение качественно объяснимо. Так же, как в чистом и зарядово-упорядоченном орторомбическом манганите [17], направление оси легкого намагничивания вдоль псевдоперовскитной диагонали (ось a или c) обусловлено наличием магнитной анизотропии с меняющимся знаком коэффициента E_n . В случае моноклинной структуры для позиции a локальной легкой осью является ось y_p , а для позиции b — ось x_p . Однако коэффициенты E_n для этих позиций не только имеют разные знаки, но и различаются по величине. Вследствие этого направление оси легкого намагничивания слегка отличается от диагонали. Величина X -составляющей магнитной структуры в нашей модели, в среднем, меньше наблюдаемой в эксперименте (ср. α_f и α^{exp} в табл. 5). Таким образом, орбитальная структура лишь частично обуславливает эту особенность. Зигзагообразная орбитальная структура в сочетании с поворотными искажениями, зависящими от знаков обменного взаимодействия, может являться причиной наличия или отсутствия слабого ферромагнетизма в кристалле. $CE_{X,Z}$ -структура ($\Gamma_1 \mathbf{k}_{12}$ (a, b) $\Gamma_2 \mathbf{k}_{12}$ (f) группы $P2_1/m$) соответствует полностью антиферромагнитной структуре, $A_{X,Z}$ -структура ($\Gamma_1 \mathbf{k}_7$ (a, b, f) группы $P2_1/m$) обладает слабым ферромагнитным моментом, аналогично чистому манганиту. Переход между этими

структурами может быть осуществлен изменением орбитального угла ϕ до величины, большей 140° . Такой переход может быть осуществлен, например, с помощью внешнего давления. Таким образом, имеется возможность получения слабого ферромагнетизма в кристалле с помощью немагнитных воздействий.

Особенностью формирования магнитной структуры зарядово-упорядоченных манганитов является наличие подрешетки Mn^{4+} , магнитная анизотропия которой невелика и в нашей модели не учитывается [17]. Тем не менее благодаря сильной одноионной анизотропии соседних ионов Mn^{3+} и обменному взаимодействию, подрешетка четырехвалентных ионов марганца также обладает осью легкого намагничивания, направленной примерно посередине между осями легкого намагничивания Mn^{3+} позиции a и Mn^{3+} позиции b .

Поведение магнитной структуры антиферромагнетика с осью легкого намагничивания во внешнем магнитном поле обычно рассматривается согласно простой модели с одним анизотропным вкладом, описывающим ось легкого намагничивания (в нашем случае это $D(g_{1Z}^2 + g_{2Z}^2 + G_Z^2)$). В этом случае при поле, направленном вдоль оси легкого намагничивания, магнитная структура до некоторой величины поля (H_{c1}) остается неизменной, после чего происходит «опрокидывание» магнитных подрешеток (спин-флоп-переход) перпендикулярно направлению внешнего поля. В дальнейшем при усилении внешнего поля направление магнитных моментов постепенно приближается к направлению поля, пока не произойдет насыщение (спин-флип-переход при H_{c2}). При таком подходе поведение неколлинеарных компонент не рассматривается.

В нашей модели поведение магнитной структуры более сложное. Это, в первую очередь, связано с учетом неколлинеарных компонент магнитной структуры. При увеличении магнитного поля вдоль оси Z к имеющимся компонентам магнитной структуры добавляются взаимодействующие с f_{1Z} , f_{2Z} , F_Z -составляющими компоненты (f_{1X} , a_{1Y} , f_{1Z}), (f_{2X} , a_{2Y} , f_{2Z}), (F_X , A_{1Y} , F_Z) — $\Gamma_3 \mathbf{k}_7$ (a, b, f), что приводит к усложнению поведения магнитной подсистемы во внешнем магнитном поле. Легко видеть, что любое направление магнитного поля внутри плоскости ac приводит к появлению тех же дополнительных компонент магнитной структуры. Спин-флоп-переход, также наблюдаящийся в этих соединениях [31], с точки зрения симметрии не приводит, в отличие от чистых манганитов [34], к качественному изменению магнит-

Таблица 5. Параметры магнитной структуры $R_{0.5}Ca_{0.5}MnO_3$. (рядом с названием соединения указана ссылка на экспериментальные данные, исходя из которых проводился расчет)

R	α_a , град	α_b , град	α_f , град	γ_a , град	γ_b , град	γ_f , град	α^{exp} , град
La [24]	-3.57°	3.42°	-4.62°	-0.28°	-0.25°	-0.16°	20°
Pr [25]	-3.87°	3.27°	-9.91°	0.32°	0.29°	0.19°	35°
Tb [26]	-3.73°	4.45°	12.05°	-0.29°	-0.21°	-0.4°	—

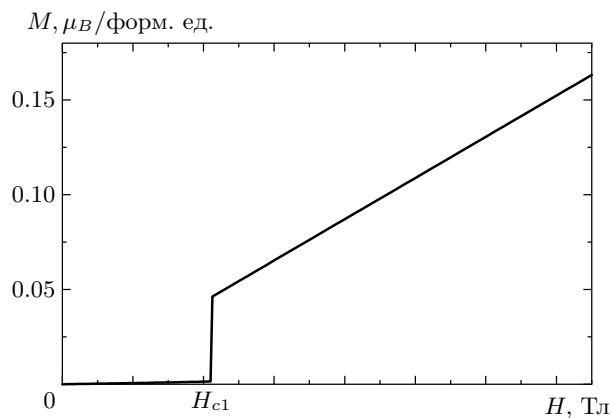


Рис. 5. Зависимость суммарной намагниченности (на одну формульную единицу) M от внешнего магнитного поля H

ной структуры: так, после достижения критического значения внешнего магнитного поля появляется ферромагнитная составляющая структуры и смена примерной оси легкого намагничивания с Z на X . При дальнейшем увеличении поля происходит увеличение Γ_3 k_7 -компоненты структуры и уменьшение соответствующих компонент исходной структуры (Γ_1 k_{12} (a, b) Γ_2 k_{12} (f)). Таким образом, очевидно, что полное насыщение в данной системе недостижимо, так же как и в чистом мanganите [34].

Обилие дополнительных компонент магнитной структуры, имеющих большое значение для понимания влияния внешнего магнитного поля, значительно затрудняет аналитические расчеты. Поэтому ниже приведем результаты численных расчетов (см. рис. 5). Величины критических полей H_{c1} для $La_{0.5}Ca_{0.5}MnO_3$ составили 4.2 Тл, для $Pr_{0.5}Ca_{0.5}MnO_3$ — 6.4 Тл, для $Tb_{0.5}Ca_{0.5}MnO_3$ — 5.8 Тл. Значение поля H_{c1} для $Pr_{0.5}Ca_{0.5}MnO_3-\delta$ согласуется с найденным в эксперименте для $Pr_{0.5}Ca_{0.5}MnO_3-\delta$ в работе [31] и равным примерно 2–5 Тл. Значения других критических полей измерены не были. Поле спин-флоп-перехода для за-

рядово-упорядоченных мanganитов имеет значение на порядок меньшее, чем для чистого мanganита (21 Тл [38] — эксперимент, 19 Тл [34] — теория).

Большой интерес вызывает не только поведение магнитной структуры во внешнем магнитном поле, но и возможность разрушения зарядового упорядочения магнитным полем не CE -типа [20] или внешним магнитным полем [3, 31, 39–42]. Величины внешних магнитных полей, при которых зарядово-упорядоченная фаза разрушается, приводятся разные. Так, для $Pr_{0.5}Ca_{0.5}MnO_3-\delta$ в работе [31] эта величина составляет примерно 5–8 Тл (при $T \sim 80$ К); для $Pr_{0.5}Sr_{0.5}MnO_3$ — 5–6 Тл при $T \approx 0$ [39]; для различных составов $Pr_{0.5}Ca_{0.5-x}Sr_xMnO_3$ [40] переход предполагается при полях примерно от 20–30 Тл ($T < T_N$) для $x = 0$, а в эксперименте при полях до 5 Тл не наблюдался даже в образцах с высоким содержанием стронция; авторы работы [41], исследовавшие соединения $R_{0.5}Ca_{0.5}MnO_3$ ($R = La, Pr, Nd, Sm$), наблюдали разрушение зарядово-упорядоченной фазы полями, равными 0–15 Тл для $La_{0.5}Ca_{0.5}MnO_3$, 16–25 Тл для $Pr_{0.5}Ca_{0.5}MnO_3$, 5–23 Тл для $Nd_{0.5}Ca_{0.5}MnO_3$ и 23–36 Тл для $Sm_{0.5}Ca_{0.5}MnO_3$ при низких температурах (меньшая величина соответствует переходу при уменьшении поля, большая — при увеличении); в работе [42] для соединения $La_{0.5}Ca_{0.5}MnO_3$ сообщается о полях 0.4–3 Тл, для которых начинается постепенное уничтожение антиферромагнитной фазы при различных температурах. Несмотря на различные величины полей разрушения зарядово-упорядоченной фазы, можно обратить внимание на то, что по порядку величины они близки к полям спин-флоп-перехода. Можно ли при этом говорить о полевых зависимостях магнитной структуры и самом спин-флоп-переходе, рассматривая кристалл как зарядово-упорядоченный? Подобное приближение возможно по нескольким причинам. Во-первых, мы предполагаем наличие идеального монокристалла — без двойников и доменов. В работах [40–42] проводились исследования поликристалл-

лов. Во-вторых, как сообщается в работах [25, 31], при достаточно низких температурах зарядово-упорядоченная фаза устойчива, таким образом, мы можем ограничиться низкотемпературным приближением. При этом можно предположить, что разрушения зарядово-упорядоченной фазы не будет в случае отсутствия ферромагнитной составляющей магнитной структуры, и механизм двойного обмена будет подавлен. При наличии даже небольшого ферромагнетизма в кристалле благодаря двойному обмену появляются области с делокализованными носителями заряда, т. е. с разрушающимся зарядовым порядком. В случае образования A -структурь при неизменной симметрии кристаллической решетки, как было сказано выше, появляется слабая ферромагнитная составляющая, инициирующая разрушение зарядово-упорядоченной фазы. При приложении внешнего магнитного поля заметная ферромагнитная составляющая структуры может появиться сразу (\mathbf{H} направлено перпендикулярно оси легкого намагничивания) или при $H > H_{c1}$ (\mathbf{H} направлено параллельно оси легкого намагничивания, см. рис. 5). Прочие направления представляют промежуточный случай перехода. В поликристаллическом образце поле спин-флоп-перехода является максимальным полем, при котором во всех зернах образца появляется ферромагнитный момент. Таким образом, можно предположить, что спин-флоп-переход может начать разрушение или полностью разрушить зарядовое упорядочение, поэтому предсказание поведения зарядово-упорядоченной системы во внешнем магнитном поле можно делать, если поле направлено вдоль оси легкого намагничивания и незначительно превышает поле спин-флоп-перехода.

Спиновые волны и антиферромагнитный резонанс

Для энергии (12) в линейном приближении спиновых волн исследованы дисперсионные зависимости магнонов (рис. 6). Вследствие шестнадцатиподрешеточной модели магнитной структуры спектр спиновых волн имеет шестнадцать ветвей. Спектр разделен на шесть зон по несколько близкорасположенных ветвей в каждой (две — в первой, второй, пятой, шестой, четыре — в третьей и четвертой). Характерной особенностью дисперсии спектра является заметное различие кривых в направлениях $[\xi 00]$ и $[00\xi]$, т. е. вдоль орбитального зигзага и в перпендикулярном направлении внутри плоскости ac . Необходимо отметить, что такое

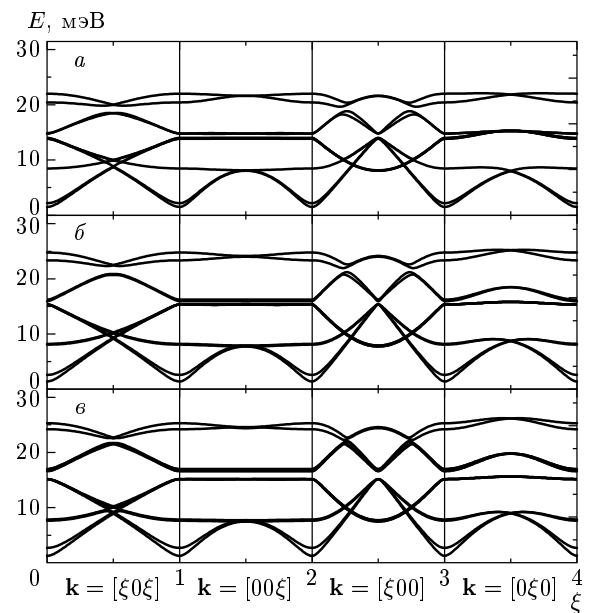


Рис. 6. Дисперсионные зависимости энергии E магнонов $R_{0.5}Ca_{0.5}MnO_3$ для различных направлений магнитной зоны Бриллюэна от волнового вектора ξ : a соответствует $Tb_{0.5}Ca_{0.5}MnO_3$, b — $Pr_{0.5}Ca_{0.5}MnO_3$, c — $La_{0.5}Ca_{0.5}MnO_3$

различие обусловлено не только сильным ферромагнитным взаимодействием внутри зигзага и слабой антиферромагнитной связью между зигзагами (т. е. магнитной подсистемой), но и взаимным расположением орбитальной, зарядовой и магнитной подрешеток. Так, уменьшение количества подрешеток до шести (по схеме $1' = 1, 13; 2' = 2, 8, 12, 14; 3' = 3, 15; 4' = 4, 6, 10, 16; 5' = 5, 9; 6' = 7, 11; 1'-6'$ «новые подрешетки», 1–16 подрешетки в обозначениях рис. 1) описывает дисперсионные зависимости в направлениях $[\xi 00]$ и $[00\xi]$, однако в двух других исследуемых направлениях эта модель ведет к совершенно идентичным дисперсионным зависимостям, т. е. влияние орбитальной структуры на спектр спиновых волн теряется. Кроме того, модель шести подрешеток подразумевает пренебрежение поворотными искажениями в одноионной анизотропии, которые обуславливают выделение оси легкого намагничивания кристалла, т. е. не может описать спин-флоп-переход.

При $k = 0$ энергетический спектр магнитных возбуждений можно наблюдать с помощью АФМР (см. рис. 7). Без внешнего магнитного поля нижние ветви спектра расщеплены и разделены энергетической щелью. Образование такой щели характерно для легкоосного антиферромагнетика. Снятие вы-

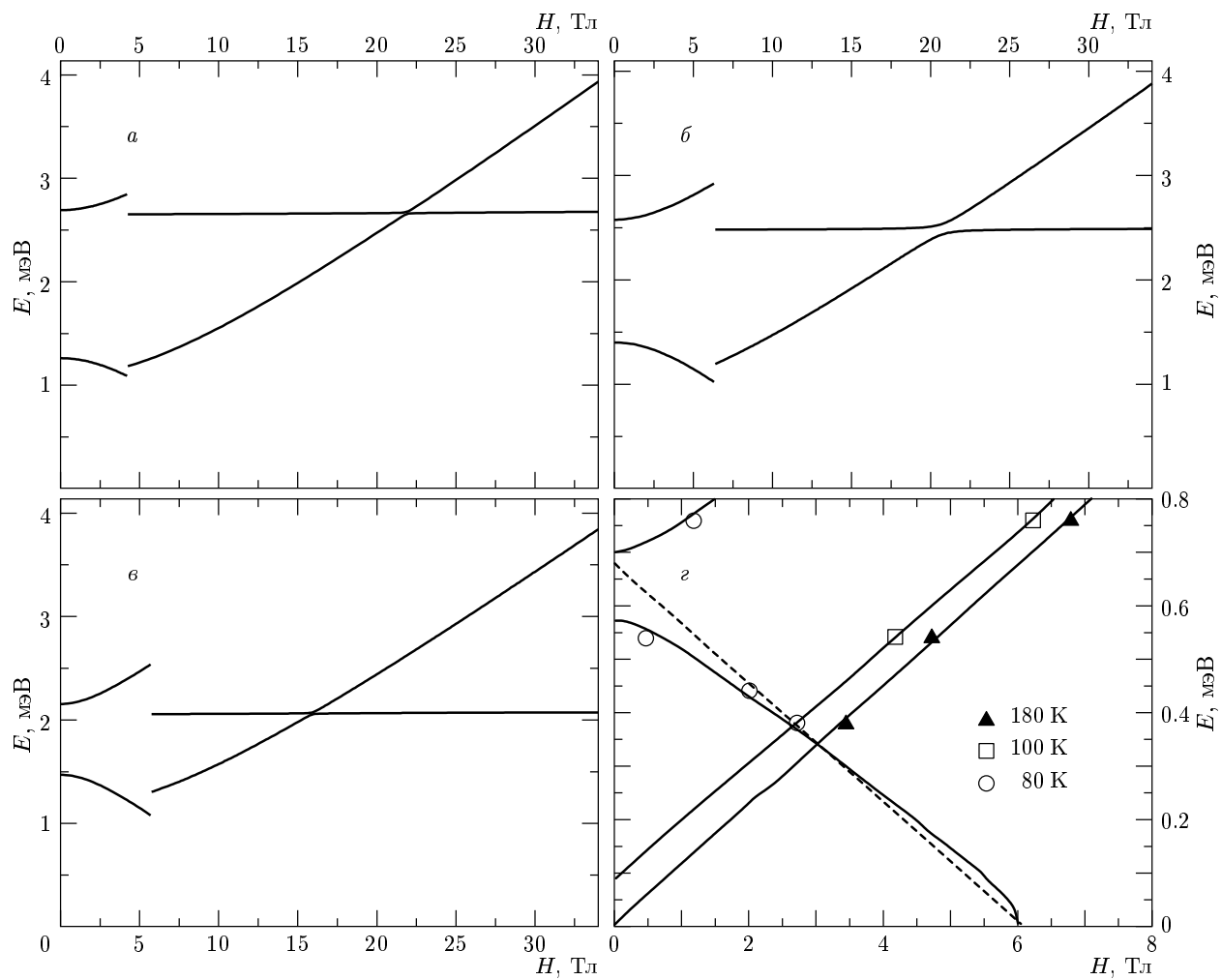


Рис. 7. Зависимость энергий E АФМР от внешнего магнитного поля H , направленного параллельно оси легкого намагничивания для $R_{0.5}Ca_{0.5}MnO_3$: a — $La_{0.5}Ca_{0.5}MnO_3$; b — $Pr_{0.5}Ca_{0.5}MnO_3$; c — $Tb_{0.5}Ca_{0.5}MnO_3$; g — экспериментальные данные для $Pr_{0.5}Ca_{0.5}MnO_{3-\delta}$ [31]

рождения нижних ветвей спектра обусловлено, так же как в чистом манганите [34], наличием орбитально-зависимой одноионной анизотропии, для которой характерны смена оси легкого намагничивания внутри плоскости ac . Увеличение расщепления между вырожденными ветвями — это следствие наличия подрешетки Mn^{4+} , которые в нашей модели не обладают магнитной анизотропией.

Величины щели ΔE и расщепления δE , по нашим расчетам, для $La_{0.5}Ca_{0.5}MnO_3$ составили $\Delta E = 1.98$ мэВ, $\delta E = 1.43$ мэВ, для $Pr_{0.5}Ca_{0.5}MnO_3$ — $\Delta E = 1.81$ мэВ, $\delta E = 0.68$ мэВ, для $Tb_{0.5}Ca_{0.5}MnO_3$ — $\Delta E = 2.00$ мэВ, $\delta E = 1.18$ мэВ. Значения для $Pr_{0.5}Ca_{0.5}MnO_3$ качественно согласуются с найденным в эксперименте в работе [31]: $\Delta E = 0.64$ мэВ, $\delta E = 0.12$ мэВ.

Расхождение наших расчетов и экспериментальных данных можно объяснить наличием вакансий по кислороду в исследованном образце, что, как утверждают авторы, является причиной наличия свободных носителей заряда в небольшом количестве. Носители заряда приводят к появлению двойного обмена, что даже при небольших концентрациях может вызвать заметные изменения в спектрах АФМР, как, например, в манганите, легированном стронцием [43].

Основным критерием качественного сравнения с данным экспериментом, на наш взгляд, может служить форма полевой зависимости спектра в направлении оси легкого намагничивания ($\sim c$). Поведение полевой зависимости частот является характерным для легкоосного антиферромагнетика. При увеличе-

ния поля в направлении оси легкого намагничивания две нижние ветви спектра еще более расходятся. При $H = H_{c1}$ наблюдается небольшой скачок, связанный с явлением спин-флоп-перехода. В обычных антиферромагнетиках при этом поле нижняя ветвь имеет нулевую энергию. В нашей модели в области полей спин-флоп-перехода ожидается лишь небольшой скачок резонансной частоты. Дальнейшее поведение полевой зависимости аналогично зависимости при направлении поля **H** перпендикулярно оси легкого намагничивания (*a*), что объясняется ослаблением влияния этой оси на спектр за счет взаимодействия влияний орбитальной и зарядовой структур, а именно, за счет наличия чередования подрешеток трехвалентных ионов марганца, обладающих сильной орбитально-зависимой одноионной анизотропией, и подрешеток четырехвалентных ионов марганца, магнитной анизотропией которых можно пренебречь и искажение кислородного окружения которых не оказывается на формировании оси легкого намагничивания кристалла. Таким образом, магнитные структуры с примерной легкой осью вблизи оси *a* и вблизи оси с гораздо слабее различаются по энергии, чем в чистом мanganите [34], поэтому скачок частот АФМР становится слабым. Подобное поведение наблюдалось и в эксперименте [31] в пределах диапазона измерений, однако полевая зависимость выше поля спин-флоп-перехода экстраполирована прямой, стремящейся к нулю в области малых полей.

5. ЗАКЛЮЧЕНИЕ

Таким образом, в нашей работе представлена простая модель, которая описывает дисперсию и полевые зависимости [31] энергии спиновых волн, а также полевую зависимость суммарной намагченности. В модель включены орбитально-зависимые взаимодействия: обмен, одноионная анизотропия; земановское взаимодействие; орбитальная и зарядовая структуры предполагаются фиксированными и не зависящими от магнитных взаимодействий. Анизотропный обмен в модели отсутствует, а все поворотные искажения учтены в других взаимодействиях.

Вследствие простоты модели в результатах работы ясно прослеживается зависимость магнитной структуры и спектров магнонов от орбитального, зарядового и кристаллического упорядочений. По этой же причине возможно качественно объяснить как формирование магнитной структуры, так и ее

поведение во внешнем магнитном поле.

Работа выполнена при частичной финансовой поддержке программы CRDF (REC-005), Министерства образования РФ (грант Е00-3.4-277) и РФФИ (грант 02-02-96412). Авторы благодарят З. Йирака (Чехия) за предоставление точных экспериментальных данных, включенных в доклад [25] на конференции ICNS2001 (13–16 сентября, г. Мюнхен, Германия).

ЛИТЕРАТУРА

1. J. B. Goodenough, Phys. Rev. **100**, 564 (1955).
2. E. O. Wollan and W. C. Koehler, Phys. Rev. **100**, 545 (1955).
3. M. Imada, A. Fujimori, and Y. Tokura, Rev. Mod. Phys. **70**, 1040 (1998); E. Dagotto, T. Hotta, and A. Moreo, Phys. Rep. **344**, 1 (2001).
4. К. И. Кугель, Д. И. Хомский, УФН **136**, 621 (1982).
5. I. Solovyev, N. Hamada, and K. Terakura, Phys. Rev. Lett. **76**, 4825 (1996).
6. G. Khaliullin and V. Oudovenko, Phys. Rev. B **56**, R14243 (1997).
7. I. V. Solovyev and K. Terakura, Phys. Rev. Lett. **83**, 2825 (1999).
8. J. Van den Brink, P. Horsch, F. Mack, and A. M. Oles, Phys. Rev. B **59**, 6795 (1999).
9. J. Van den Brink, G. Khaliullin, and D. Khomskii, Phys. Rev. Lett. **83**, 5118 (1999).
10. Saitoh et al., Nature **410**, 180 (2001).
11. D. L. Huber, G. Alejandro, A. Caneiro et al., Phys. Rev. B **61**, 12155 (1999).
12. M. V. Zimmermann, J. P. Hill, D. Gibbs et al., Phys. Rev. Lett. **83**, 4872 (1999); H. Kawata, T. Arima, Y. Tokura et al., Phys. Rev. Lett. **81**, 582 (1999).
13. J. Kanamori, J. Appl. Phys. (Suppl.) **31**, 14S (1960).
14. A. J. Millis, Phys. Rev. B **53**, 8434 (1996).
15. L. F. Feiner and A. M. Oles, Phys. Rev. B **59**, 3295 (1999); S. Fratini, M. Capone, M. Grilli, and D. Feinberg, in: CP **554**, *Physics in Local Lattice Distortions*, ed. by H. Oyanagi and A. Bianconi, 371 (2000).

16. T. Hotta, S. Yunoki, M. Mayr, and E. Dagotto, Phys. Rev. B **60**, R15009 (1999); T. Hotta, Y. Takada, H. Koizumi, and E. Dagotto, Phys. Rev. Lett. **84**, 2477 (2000); S. Yunoki, T. Hotta, and E. Dagotto, Phys. Rev. Lett. **84**, 3714 (2000).
17. L. E. Gontchar, A. E. Nikiforov, and S. E. Popov, J. Magn. Magn. Mat. **223**, 175 (2001).
18. F. Moussa, M. Hennion, J. Rodriguez-Carvajal et al., Phys. Rev. B **54**, 15149 (1996).
19. K. Hirota, N. Kaneko, A. Nishizawa, and Y. Endoh, J. Phys. Soc. Jpn. **65**, 3736 (1996).
20. J. Q. Li, Y. Matsui, T. Kimura, and Y. Tokura, Phys. Rev. B **57**, R3205 (1998).
21. R. Maezono, S. Ishihara, and N. Nagaosa, Phys. Rev. B **58**, 11583 (1998); R. Maezono and N. Nagaosa, Phys. Rev. B **62**, 11576 (2000).
22. T. Mizokawa, D. I. Khomskii, and G. A. Sawatzki, Phys. Rev. B **61**, R3776 (2000); T. Mizokawa, D. I. Khomskii, and G. A. Sawatzki, Phys. Rev. B **63**, 024403 (2001).
23. M. Van Veendaal and A. J. Fedro, Phys. Rev. B **59**, 1285 (1999).
24. P. G. Radaelli, D. E. Cox, M. Marezio, and S.-W. Cheong, Phys. Rev. B **55**, 3015 (1997).
25. Z. Jirák, C. Martin, M. Hervieu, and J. Hejtmanek, *Reported at Int. Conf. on Neutron Scattering ICNS2001 13–16 September 2001, Munich* (see abstract in: *Conference Programme and Abstracts ICNS2001*, ed. by J. Neuhaus and A. Meyer, p. 146 (2001)).
26. J. Blasco, J. Garcia, J. M. de Teresa et al., J. Phys.: Condens. Matter **9**, 10321 (1997).
27. L. E. Gontchar and A. E. Nikiforov, Czechosl. J. Phys. **52**, Suppl. A, p. A245 (2002).
28. Z. Jirák, S. Krupička, Z. Šimša et al., J. Magn. Magn. Mat. **53**, 153 (1985).
29. F. Damay, Z. Jirák, M. Hervieu et al., J. Magn. Magn. Mat. **190**, 221 (1998).
30. A. Machida, Y. Moritomo, K. Ohoyama et al., Phys. Rev. B **62**, 80 (2000).
31. S. Kawamata, S. Noguchi, K. Okuda et al., J. Magn. Magn. Mat. **226–230**, 854 (2001).
32. В. Е. Найш, ФММ **92**, 5 (2001).
33. В. Е. Найш, ФММ **92**, 16 (2001).
34. Л. Э. Гончарь, А. Е. Никифоров, С. Э. Попов, ЖЭТФ **118**, 1411 (2000).
35. А. Е. Никифоров, С. Э. Попов, С. Ю. Шашкин, ФММ **87**, 16 (1999).
36. О. В. Ковалев, *Неприводимые и индуцированные представления и копредставления федоровских групп*, Наука, Москва (1986).
37. К. С. Александров, А. Т. Анистратов, Б. В. Безносиков, Н. В. Федосеева, *Фазовые переходы в кристаллах галлоидных соединений*, Наука, Новосибирск (1981).
38. K. Hirota, A. Nishizawa, and Y. Endoh, J. Magn. Magn. Mat. **177–181**, 864 (1998).
39. Y. Tomioka, A. Asamitsu, Y. Morimoto, H. Kuhawara, and Y. Tokura, Phys. Rev. Lett. **74**, 5108 (1995).
40. S. Krupička, M. Maryško, Z. Jirák, and J. Hejtmanek, J. Magn. Magn. Mat. **206**, 45 (1999).
41. M. Respaud, J. M. Broto, H. Rakoto et al., J. Magn. Magn. Mat. **211**, 128 (2000).
42. J. Lope, P. N. Lisboa-Filho, W. A. C. Passos et al., J. Magn. Magn. Mat. **226–230**, 500 (2001).
43. A. A. Mukhin, V. Yu. Ivanov, V. D. Travkin et al., Physica B **284–288**, 1414 (2000).